

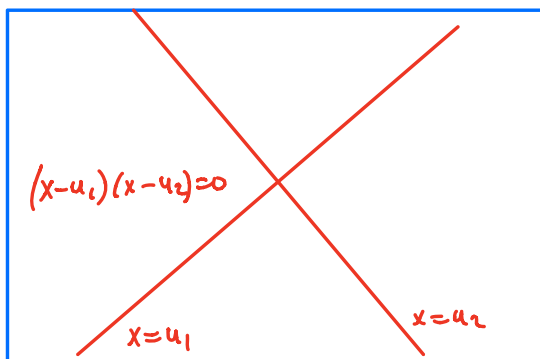
Лекция 5:

- Эквивар. эллиптические котомологии
- Эллиптические стабильные оболочки
- 3D-Зеркальная симметрия
- K-теоретический предел эл. оболочек
- Предел в стенку и следствия
- Гипотеза Горского-Негута.

Напомним что для $T^*\mathbb{P}^1 = \frac{\mathbb{C}^1}{\mathbb{C}^2} \simeq$

$$H_T(T^*\mathbb{P}^1) = \mathbb{C}[x, u_1, u_2, \hbar] /_{(x-u_1)(x-u_2)}$$

$$H_T(T^*\mathbb{P}^1) = \text{функции на } \text{Spec}(H_T(T^*\mathbb{P}^1))$$



\mathbb{C}^4 - четырехмерное
пространство с
координатами x, u_1, u_2, \hbar

Пусть $O_{p_1} = O_{p_2} = \mathbb{C}^3$ с координатами u_1, u_2, \hbar

Тогда $\text{Spec}(H_T(T^*\mathbb{P}^1)) = O_{p_1} \cup O_{p_2}$
склейка по гиперплоскости

Функция на $O_{p_1} \cup O_{p_2} \Leftrightarrow f = (f_1, f_2)$
 $u_1 = u_2$

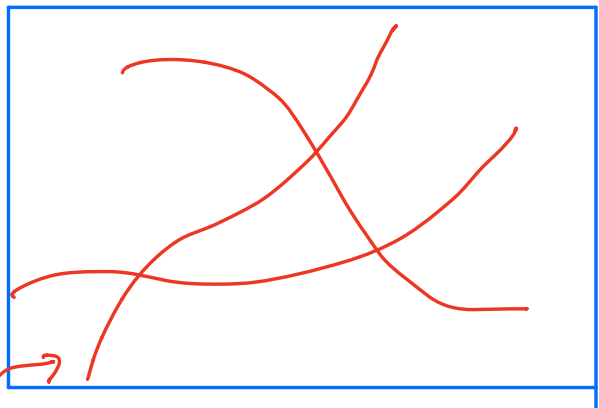
такая что $f_1|_{O_{p_1} \cap O_{p_2}} = f_2|_{O_{p_1} \cap O_{p_2}}$

Пример:

$$\text{Stab}_{\mathbb{C}_1}(p_2) = (x-u_2+\hbar) \rightsquigarrow [(u_1-u_2+\hbar), \hbar]$$

В общей ситуации: $H_T(x) = \frac{\mathbb{C}[x, \dots, a_i, \dots, t]^{\text{sym}}}{I}$

Spec:



пространство
всех

$x_1, \dots, x_n, a_1, \dots, t_n$

для каждой неподвижной точки

$$O_p = C_{a_1} \times C_{a_2} \times \dots \times C_{a_n} \times C_t \quad \text{заданной уравнением}$$

$$x_i = x_i|_p$$

$$\text{Spec}(H_T(x)) = \bigcup_{p \in X^T} O_p / \Delta$$

условия
склейки
из топологии
 X .

$$\text{Классы в } H_T(x) = (f_1, \dots, f_{|X^T|})$$

отображение на $O_{p_i} \cap O_{p_j}$

Эквивариантные эллиптические когомологии:

Зафиксируем $q \in \mathbb{C}^{\times}$ и эллипт. кривую $E = \mathbb{C}/q\mathbb{Z}$;

Определим:

$$\text{Ell}_T(\text{pt}) = T / q^{\text{cochar}(T)} \simeq E^{\dim(T)}$$

т.е. $\text{Ell}_T(\text{pt}) = E_{a_1} \times E_{a_2} \times \dots \times E_{a_k}$ ←

теперь
эквивариантные
параметры
будут координатами
на эл. кривых.

Определение:

Эллиптические эквивариантные когомологии X
(в предположении что X^T - конечно)

есть схема

$$\text{Ell}_T(x) = \coprod_{p \in X^T} O_p / \Delta \leftarrow$$

склейка

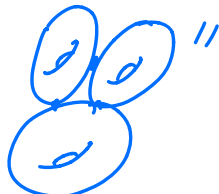
такая же как

одн. $\text{Spec}(H_T(x))$

$$O_p \simeq \text{Ell}_T(\text{pt})$$

〃

$$\text{Ell}_T(x) =$$



Определение: Эллиптический класс

$$f = (f_{p_1}, f_{p_2}, \dots)$$

f_{p_i} = сечение линейного расслоения над O_{p_i} .
которые согласованы на склейках

$$f_{p_i}|_{O_{p_i} \cap O_{p_j}} = f_{p_j}|_{O_{p_i} \cap O_{p_j}}$$

Определение:

Расширение эл. когомологии

$$E_T(x) = E\amalg_T(x) \times E^{\text{rank}(Pic)}$$

для конечных многообразий

$$E^{\text{rank}(Pic)} = E_{z_1} \times \dots \times E_{z_m}$$

для каждой вершины \emptyset

$\begin{smallmatrix} \bullet & \bullet & \bullet & \cdots & \bullet \\ 1 & 2 & \cdots & m \end{smallmatrix}$

Исправлено

$$E_T(x) = \coprod_{p \in X^T} \widehat{O}_p / \Delta$$

$$O_p = E_{a_1} \times E_{a_2} \times \dots \times E_{a_e} \times E_b \times E_{z_1} \times \dots \times E_{z_m}$$

Теор: Для любого $\sigma \in \text{cochar}(A)$ и $p \in X^T$

существует единственный класс

$\text{Stab}_\sigma(p)$ в эллип. когомологиях
удовлетворяющий условиям:

$$(1) \quad \text{Supp}(\text{Stab}_\sigma(p)) \subset A + r_\sigma^+(p)$$

(2)

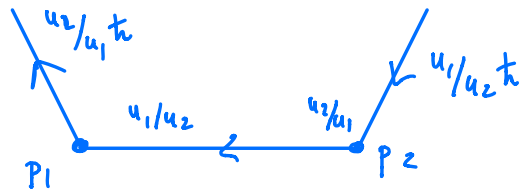
$$\text{Stab}_\sigma(p)|_p = (-1)^{\varepsilon} e(N_p^-) = \prod_{w \in N_p^+} \theta(w)$$
$$\theta(x) = (x^{1/2} - x^{-1/2}) \prod_{i=1}^{\infty} (1 - q^i x)(1 - q^i/x)$$

$$(3) \quad \text{Квазинеодн} \quad f(\dots \cup q \dots) = ? f(\dots \cup \dots);$$

для $\text{Stab}_\sigma(p)|_{\widehat{\mathcal{O}}_q}$

по всем переменным.

Пример:



$$T_{ij} = \left. \text{Stab}(p_i) \right|_{q_j} = \begin{pmatrix} \theta(u) \theta(z\bar{t}), & 0 \\ \theta(t) \theta(uz), & \theta(ut) \theta(z) \end{pmatrix}$$

$\left| \quad \quad \quad \right|$

$$u = u_2/u_1 = 1$$

Заметим что columns
согласованы на $u=1$

Трехмерная зеркальная симметрия для Stab:

Заметим что строки матрицы T_{ij}
тоже согласованы в $z=1$:

$$\begin{pmatrix} \theta(u) \theta(z\bar{t}), & 0 \\ \theta(t) \theta(uz), & \theta(ut) \theta(z) \end{pmatrix} \xrightarrow{\text{parabn при } z=1}$$

Более того есть
симметрия $\bar{z} \leftrightarrow u$:

$$\begin{pmatrix} \theta(u) \theta(z\bar{t}), & 0 \\ \theta(\bar{t}) \theta(\bar{u}z), & \theta(\bar{u}\bar{t}) \theta(z) \end{pmatrix}$$

\Downarrow
 $u \rightarrow \bar{u}, z \rightarrow \bar{z}$.

Хотим про это написать так:

$$X \simeq T^* \mathbb{P}^1$$

$$X^! \simeq T^* \mathbb{P}^1$$

$u = \text{экв. параметр } A$

$z = \text{кодерб. параметр}$
на $\text{Pic}(X) \otimes \mathbb{C}^X = K$

$z = \text{эквивар. параметр}$
на торе $A^!$

$u = \text{кодерб. параметр}$
на $\text{Pic}(X^!) \otimes \mathbb{C}^{X^!} = K^!$

$$T_{ij}^{(X)} \xrightarrow{\hspace{1cm}} T_{ij}^{(X^!)}$$

после некоторого отождествления
неподб. точек.

"Определение:"

Мы скажем что $X^!$ есть "3D-mirror" X

если:

(1) существует изом:

$$\alpha: A \rightarrow K^!; K \rightarrow A^!$$

(2) существует биекция

$$b: X^A \xrightarrow{\sim} (X^!)^{A^!}$$

$$(3) \quad T_{ij} = \alpha^*(T_{b(j)} b(i))$$

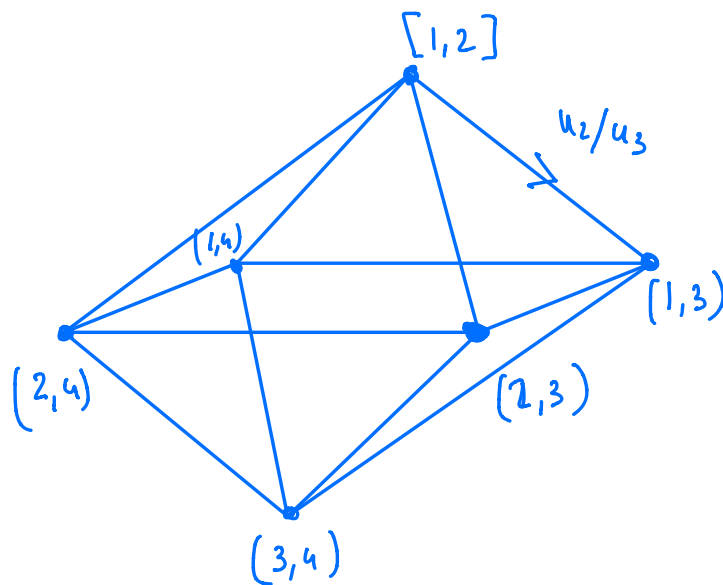
Пример:

$$X = \begin{array}{c} \circ \\ \square \\ 4 \end{array}^2 = T^* \mathrm{Gr}(2,4)$$

$$X^A = \left\{ (i,j) \subset \{1,2,3,4\} \right\}$$

$$A = \left(u_1/u_2, \frac{u_2}{u_3}, \frac{u_3}{u_4} \right)$$

$$K = \{\mathbb{Z}\}$$



$$T_{ij} = \begin{pmatrix} * & * & * & * & * & * \\ * & * & * & * & * & * \\ 0 & * & * & * & * & * \\ * & * & * & * & * & * \\ * & * & * & * & * & * \\ * & * & * & * & * & * \end{pmatrix}$$

↔

$$u_i/u_j = 1$$

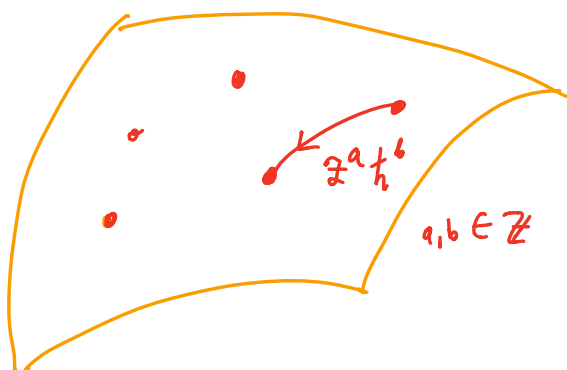
На диагональной строке

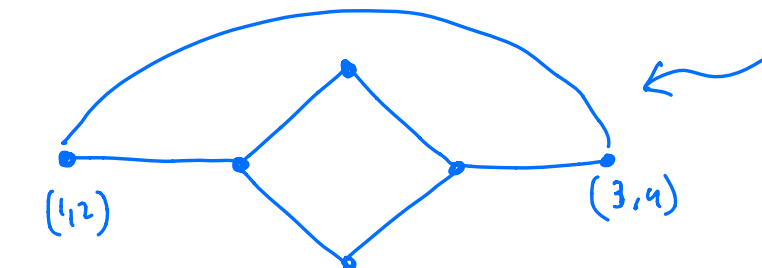
мы ожидаем

$$\mathrm{Pic}(X^!) \otimes \mathbb{C}^* = \mathbb{C}^3$$

$$A^! \simeq \mathbb{C}^3 \ni z$$

$$|(X^!)^{A^!}| = 6$$

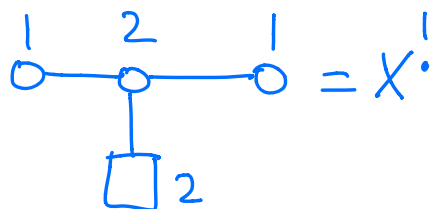




из эквивалент
получим
такую
картиноу

Эквивар. структура

когда члены множества



В каких случаях мы получим $X^!$?

(1) RSVZ 1:

$$x = \begin{array}{c} o \\ \square \\ n \end{array} \rightsquigarrow x^! = \begin{array}{ccccccc} 1 & 2 & \cdots & k & \cdots & k & 1 \\ o & o & o & o & o & o & o \\ \square & & & & & & \end{array}$$

(2) RSVZ 2:

$$x = \begin{array}{ccccc} n-1 & n-2 & \cdots & 1 \\ o & o & o & o & o \\ \square \\ n \end{array} = T^*(\text{Full Flags})$$

$x^! \simeq X$ - self-dual.

(3) RW: $T^*(G/B) = T^*(G^L/B^L)$
 $\xrightarrow{\quad}$
Langlands dual group.

(3) Hypergeometric varieties SZ.

(4) Для конечного многообразия X
мы имеем предсказание для $X^!$
(Ханан-Виттен)

но доказать $T_{ij}^X = T_{ij}^{X'}$

обычно сложно даже если мы знаем
формулы для стаб. оболочки.

Пример: Явные формулы для

$\text{Stab}(\lambda)$ в случае $X = \frac{\mathbb{H}_i \backslash \mathbb{B}^n}{\mathbb{D}_i} = \mathbb{H}_i \backslash \mathbb{B}^n / (\mathbb{C}^2)$
известны (с. "Elliptic stab-env. Hilb")

$$T_{ij} = f(a=t_1/t_2, t_h=t_1 \cdot t_2, z).$$

На компьютере можно проверить что

$$"T_{ij} = T_{ij}(z \leftrightarrow a)"$$

но док.-бо пока не могу чит.

Предел в K-теории:

Teop. (Aganagic - Okounkov)

$$\text{Stab}^{\text{ell}}(p) \Big|_{z=q^s} \xrightarrow{q \rightarrow 0} \text{Stab}^{K+h,(s)}(p)$$

$s \in H^2(X, \mathbb{R})$ — "наклон" K-теорий стаб.

оболочки.

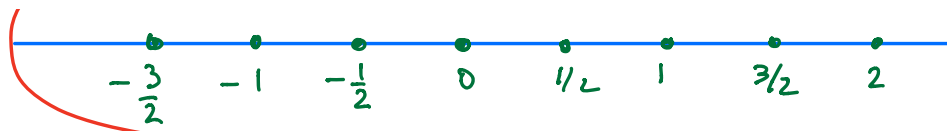
K-теоретический предел. $q \rightarrow 0$

$$\Theta(x) = x^{1/2} - x^{-1/2}$$

для общего $s \in \mathbb{R}$ ($s \notin \mathbb{Z}$)

$$\lim_{q \rightarrow 0} \frac{\Theta(az)}{\Theta(z)} \Big|_{z=q^s} = \lim_{q \rightarrow 0} \frac{\Theta(aq^s)}{\Theta(q^s)} = \bar{a}^{-\lfloor s \rfloor - 1/2}$$





Эллипт стабильные

оболочки зависят

только от таких комбинаций

Пример : $X = \mathrm{Hil}^{n=2}(\mathbb{C}^2)$

$$\left\{ \begin{smallmatrix} \square \square \\ \square \end{smallmatrix}, \begin{smallmatrix} \square \\ \square \end{smallmatrix} \right\} = X^T$$

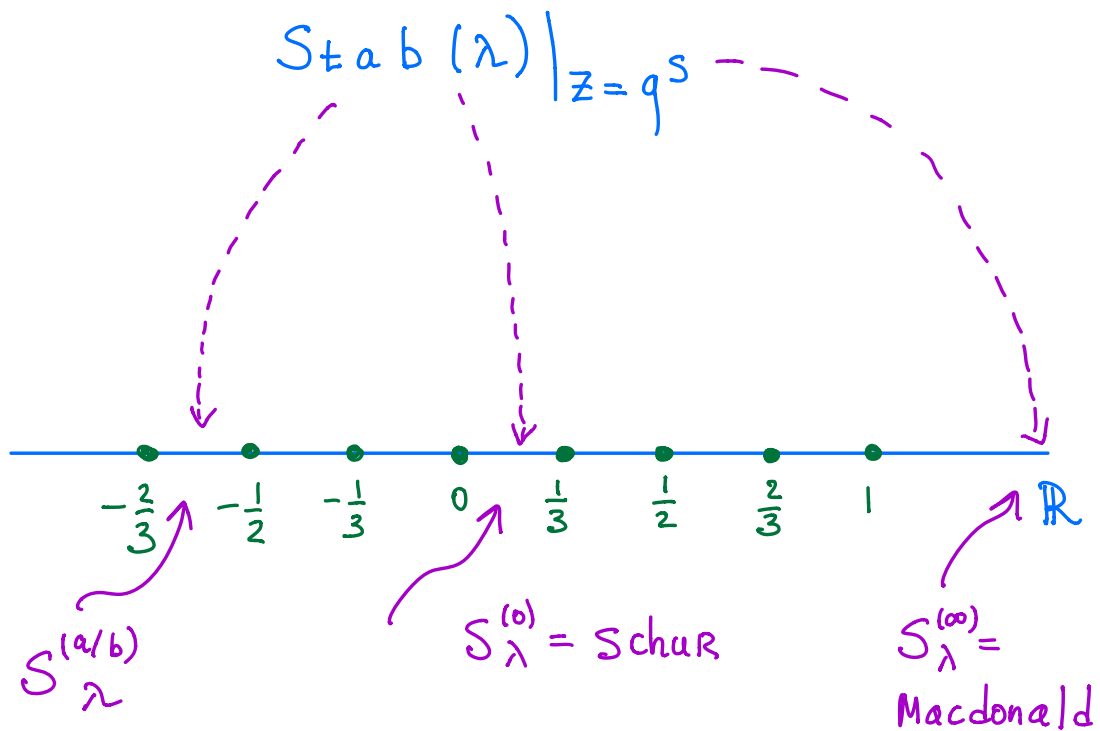
$f = S_{stab}(\begin{smallmatrix} \square \\ \square \end{smallmatrix})$; Then, the components are:

$$f|_{\begin{smallmatrix} \square \\ \square \end{smallmatrix}} = \mathcal{V}(t_2) \mathcal{V}(t_2^2) ;$$

$$f|_{\square} = \frac{\mathcal{V}(t_2)^2 \mathcal{V}(t_1 t_2) \mathcal{V}(\frac{t_2}{t_1} z)}{\mathcal{V}(t_1) \mathcal{V}(z)} +$$

$$+ \frac{\mathcal{V}(t_2) \mathcal{V}(t_1/t_2) \mathcal{V}(t_1 t_2) \mathcal{V}(z^2 t_2) \mathcal{V}(t_1 t_2 z)}{\mathcal{V}(t_1) \mathcal{V}(z^2 t_1 t_2) \mathcal{V}(z)} ;$$

K-theory nedende $H^1 b^n(\mathbb{C}^2)$



$$\text{Walls} = \left\{ \frac{a}{b} \in \mathbb{Q} : 1 \leq |b| \leq n \right\}$$

"Farey sequence of level n ".

Change of stable basis

In "Infinitesimal change of stable basis"

E. Gorsky, A. Negut studied transition matrices

$$S_{\lambda}^{(q/b+\epsilon)} = \sum_{\mu} T_{\lambda,\mu}^{(q/b)} S_{\mu}^{(q/b-\epsilon)}$$

for "infinitely" small ϵ .

Example: $n=3$, in basis , ,

$$\begin{aligned} T^{(\frac{1}{2})} &= \begin{pmatrix} 1, & 0, & -\frac{t_1}{t_2} z(t, t_2-1) \\ 0, & 1, & 0 \\ 0, & 0, & 1 \end{pmatrix} \\ &= \begin{pmatrix} 1, & 0, & -a^3 \frac{t_1^{-1}}{t_2} (t_2^2 - 1) \\ 0, & 1, & 0 \\ 0, & 0, & 1 \end{pmatrix} \end{aligned}$$

- \exists diagonal γ_s so that

$$\tilde{T}^{(s)} = \gamma_s^{-1} T^{(s)} \gamma_s - \text{Laurant polynomial in } t.$$

- Let $s = \frac{a}{b}$, then $\tilde{T}^{(a/b)}$ coincides with the Leclerc-Thibon involution of $U_{\hbar}(\widehat{\mathfrak{gl}}_b)$:

By Leclerc-Thibon there is a unique involution of $U_{\hbar}(\widehat{\mathfrak{gl}}_b)$ -module Fock such that:

$$\begin{aligned}(1) \quad \overline{a(\hbar)x + b(\hbar)y} &= a(\hbar^{-1})\overline{x} + b(\hbar^{-1})\overline{y} \\ (2) \quad \overline{|\emptyset\rangle} &= |\emptyset\rangle \\ (3) \quad \overline{f_i v} &= f_i \overline{v}\end{aligned}$$

$T_{\mathfrak{gl}_b}^{L-T}$ = transition matrix from $|\lambda\rangle$ to $|\lambda\rangle$

Conjectures:

- $\tilde{T}^{(a/b)} = T_{\mathfrak{gl}_b}^{L-T}$
- the action of $H_{\mathfrak{gl}_b}$ extends to action of $U_{\hbar}(\widehat{\mathfrak{gl}}_b)$ (which commutes with $H_{\mathfrak{gl}_b}$)

K-theory limit to a wall (Y.Kononov - S.)

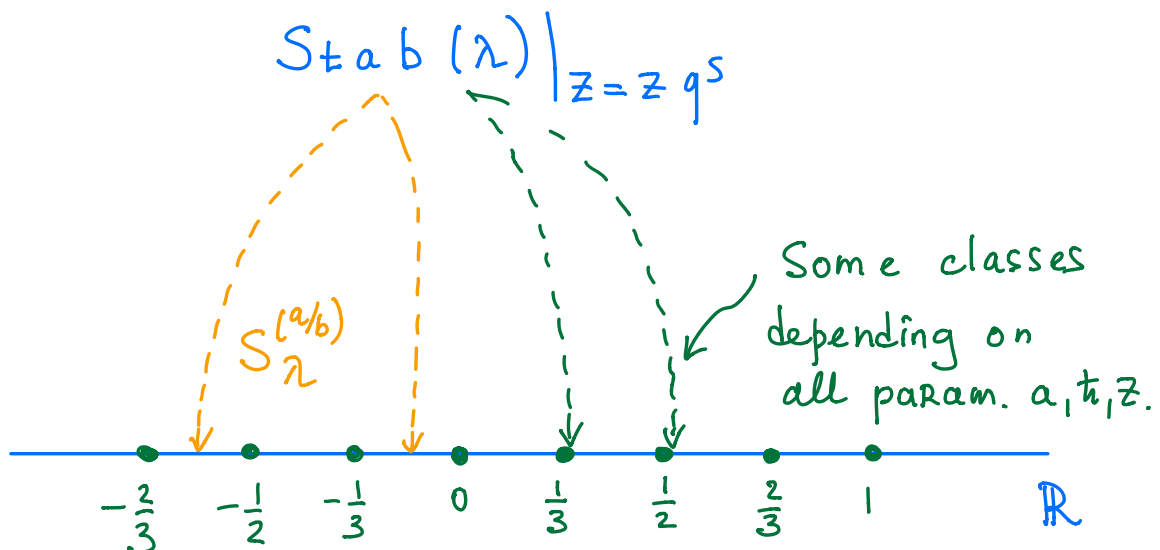
Instead the limit $\lim_{q \rightarrow 0} \text{Stab}|_{z=q^s}$

we can consider

$$\lim_{q \rightarrow 0} \text{Stab}|_{z=z \cdot q^s}$$

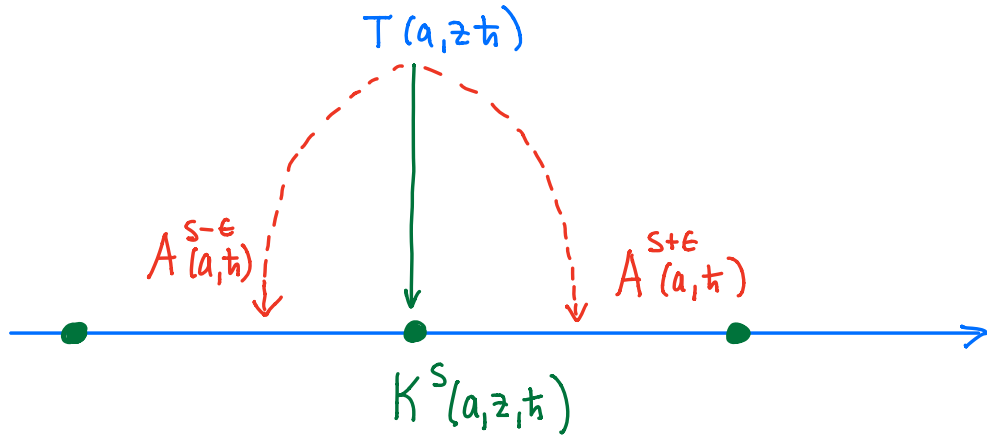
This limit exists for all values of s!

$$\lim_{q \rightarrow 0} \frac{\theta(azq^s)}{\theta(zq^s)} = \begin{cases} a^{-\lfloor s \rfloor - 1/2}, & s \notin \mathbb{Z} \\ \frac{1-az}{1-z} a^{-s-1/2}, & s \in \mathbb{Z} \end{cases}$$



K-theory limit to a wall

Let $s = \frac{a}{b}$ - be a wall for X .



Key observation:

$$K^s(a, z, \hbar) \cdot A^{s \pm \epsilon}(a, z, \hbar)^{-1} = \gamma_s \ Z^{\pm}(z, \hbar) \ \gamma_s^{-1}$$

↗
diagonal matrix
as in Negut-Gorsky.

Theorem (Y. Kononov - S.)

Let $s = a/b$ be a wall for X

$$K^s(a, t, z) = \lim_{q \rightarrow 0} T(a, t, z q^s)$$

Then:

$$K^s = \gamma_s Z^+(z, t) \gamma_s^{-1} A^{s+\epsilon}(a, t) = \gamma_s Z^-(z, t) \gamma_s^{-1} A^{s-\epsilon}(a, t)$$

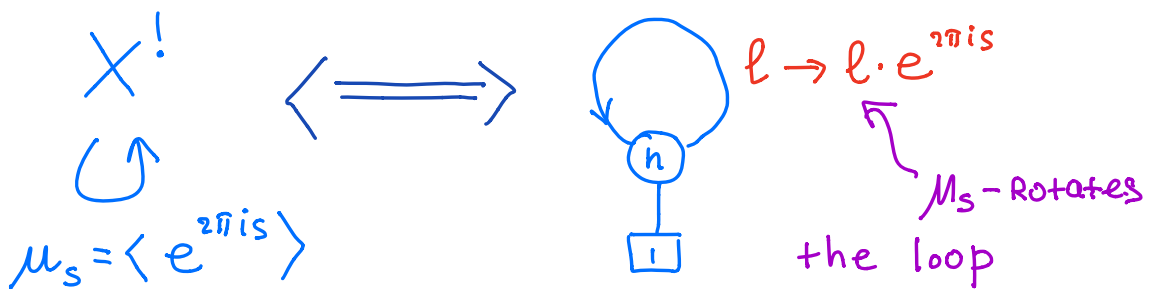
- $A^{s \pm \epsilon}(a, t)$ - K-theoretic stable envelope of Hilbert scheme X with slope $s \pm \epsilon$
- $Z^{\pm}(z, t)$ - K-theoretic stable envelope of $Y_s \subset X^!$ with slope $\pm \epsilon$.

- $Y_s = (X^!)^{\mu_s} \subset X^!$

$$\mu_s = \langle e^{2\pi i \cdot s} \rangle \simeq \mathbb{Z}_b ; \quad z \rightarrow z \cdot e^{2\pi i s}$$

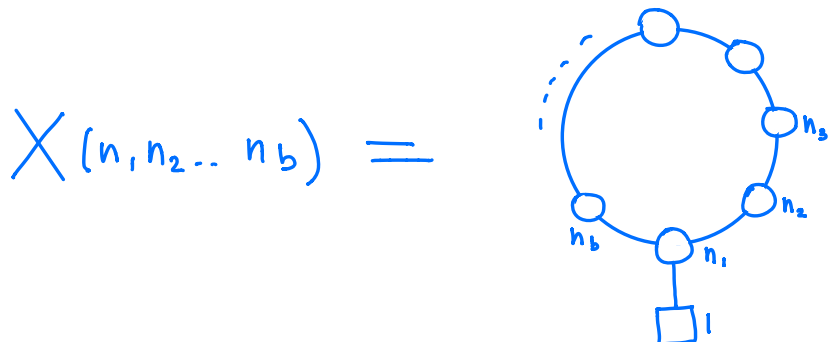
Proof of Gorsky-Negut conjectures

For a wall $s = \frac{a}{b}$ where the action of $U_{\hbar}(\widehat{\mathfrak{gl}_b})$ comes from?



Then Y_s is a union of quiver varieties

$$Y_s = (X!)^{\mu_s} = \coprod_{n_1 + \dots + n_b = n} X(n_1, n_2, \dots, n_b)$$



By Maulik-Okounkov-Nakajima ...

$$\bigoplus_n K_T(Y_s) - \text{module of } U_{\hbar}(\widehat{\mathfrak{gl}_n}).$$

Proof of Gorsky-Negut conjectures

Why the Leclerc-Thibon matrices
= transition matrices across a wall $s = a/b$

Factorization at walls gives:

$$\gamma_s Z^+(z, \hbar) \gamma_s^{-1} A^{s+\epsilon}_{(a, \hbar)} = \gamma_s Z^-(z, \hbar) \gamma_s^{-1} A^{s-\epsilon}_{(a, \hbar)}$$

\Rightarrow

$$\underbrace{A^{s+\epsilon}_{(a, \hbar)} A^{s-\epsilon}_{(a, \hbar)}^{-1}}_{\text{Exactly the matrices}} = \gamma_s \underbrace{Z^+(z, \hbar)^{-1} Z^-(z, \hbar)}_{\text{Transition matrix from basis } |\lambda\rangle \text{ to basis } |\overline{\lambda}\rangle \text{ in Fock module of } U_\hbar(\widehat{gl}_b)} \gamma_s^{-1}$$

$T^{(a/b)}$ studied
by Gorsky-Negut

Transition matrix
from basis $|\lambda\rangle$
to basis $|\overline{\lambda}\rangle$
in Fock module
of $U_\hbar(\widehat{gl}_b)$

T_{glb}^{L-T}